



مقدمه

برآورد صحیح و دقیق توزیع رطوبت خاک، دمای خاک، تبخیر- تعرق و میزان جریان رودخانه در مطالعات هیدرولوژیکی، اکولوژیکی و اقلیمی از اهمیت چشم‌گیری برخوردار است. در این میان مدل‌های سطح زمین^۷ با تأکید بر بیلان انرژی و رطوبتی در نمایش فرآیندهای دینامیکی و فیزیکی سطح زمین نقش مهمی را بازی می‌کنند [۳۱]. مدل‌های سطح زمین شامل فرایند تبادل آب و حرارت بین سطح زمین و جو است. این مدل‌ها تأکید زیادی بر شبیه‌سازی فرایندهای فیزیکی و دینامیکی دارند که منجر به تعیین شارهای انرژی و رطوبتی جهت کاربردهایی مانند مطالعات تغییرات آب و هوا، پیش‌بینی خشکسالی، سیلاب و مدیریت منابع آب می‌شوند [۲۶ و ۲۴]. این مدل‌ها شامل مدل‌سازی تفکیک میزان بارش رواناب، تبخیر- تعرق، تفکیک تابش خالص به شار گرمای نهان، محسوس و زمینی است [۵]. مدل‌های هیدرولوژیکی بسیاری توسط محققان گسترش یافته است، این مدل‌ها مفهومی هستند و نسبت به مدل‌های سطح زمین (LSMs) دارای چندین محدودیت عمده می‌باشند به گونه‌ای که بیلان انرژی و پویایی پوشش گیاهی در این مدل‌ها نادیده گرفته شده است و جفت کردن این مدل‌ها با مدل‌های GCM بسیار سخت و گاه غیر ممکن است و شبیه‌سازی آن‌ها به صورت آفلاین می‌باشد. هم‌چنین این مدل‌ها عمدتاً مدل‌های مفهومی هستند (پارامترها فیزیکی نیستند و عمدتاً مبتنی بر روش CN هستند) و پارامترها به صورت یکنواخت یا کاملاً توزیع شده در نظر گرفته شده‌اند [۳۱].

یکی از پرکاربردترین مدل‌های سطح زمین (LSMs) که در دهه‌های اخیر مورد توجه بسیاری از محققین قرار گرفته و از محبوبیت و کاربرد بیشتری در میان محققین سراسر جهان برخوردار می‌باشد، مدل VIC-3L می‌باشد [۱۴]. این مدل یک مدل بزرگ مقیاس، نیمه توزیعی و توسعه یافته بهوسیله لیانگ^۸ در دانشگاه واشنگتن آمریکا^۹ برای استفاده سازمان ملی هواشنردی و فضایی آمریکا (NASA) در سیستم جهانی تلفیق اطلاعات زمینی (GLDAS) می‌باشد. این مدل می‌تواند معادلات توازن آب و انرژی را حل کند و به عنوان یک مدل تحقیقاتی محسوب می‌شود که به صورت موفق در حوضه‌های

7. Land Surface Model

8. Xu Liang

9. University of Washington

10. National Aeronautics and Space Administration

11. Global Land Data Assimilation System

ارزیابی مدل بزرگ مقیاس سطح زمین VIC-3L در شبیه‌سازی دبی روزانه حوزه آبخیز قره‌سو

گلاله غفاری^۱، علی سلاجقه^۲، علیرضا مساح بوانی^۳، علیرضا مقدم نیا^۴، هدایت فهمی^۵ و مسعود آقا محمدحسین تجریشی^۶
تاریخ دریافت: ۱۳۹۸/۰۲/۲۳ تاریخ پذیرش: ۱۳۹۸/۰۴/۲۹

چکیده

مدل‌های سطح زمین به صورت گسترده‌ای برای شبیه‌سازی و پیش‌بینی تبادلات اندازه حرکت، انرژی و ماده بین بیوسفر و اتمسفر در مقیاس‌های محلی، منطقه‌ای و جهانی استفاده می‌شوند. در این تحقیق به منظور ارزیابی عملکرد مدل سطح زمین- VIC-3L در شبیه‌سازی دبی روزانه در حوزه آبخیز قره‌سو با تفکیک مکانی ۰/۱۲۵ درجه از تصاویر ماهواره‌ای و پایگاه‌های اطلاعاتی جهانی برای تهیه ورودی‌های مدل استفاده به عمل آمد و دبی روزانه حوضه برای دوره زمانی ۲۰۰۸/۰۹/۳۰ تا ۲۰۰۳/۰۱/۰۱ تا ۲۰۰۳/۰۱/۰۱ تا ۱۹۹۳/۰۱/۰۱ واسنجی گردید. نتایج حاصل از ارزیابی کارایی مدل با شاخص‌های آماری ضریب تبیین و ضریب کارایی ناش- سات کلیف به ترتیب در دوره واسنجی معادل ۰/۷۵ و ۰/۷۳ و در دوره صحت‌سنجی ۰/۷۲ و ۰/۷۴ حاکی از عملکرد بالای مدل در شبیه‌سازی دبی روزانه ایستگاه قره‌سو بود. در کل با توجه به بزرگ مقیاس بودن مدل VIC-3L و استفاده از آن در مقیاس حوزه آبخیز در این پژوهش، می‌توان گفت این مدل از قابلیت بالایی برخوردار است.

کلیدواژه‌ها: مدل‌های سطح زمین (LSMs)، مدل VIC-3L حوزه آبخیز قره‌سو، دبی روزانه

۱. دانشجوی دکتری علوم و مهندسی آبخیز- گرایش آب، دانشگاه تهران
۲. نویسنده مسئول و استاد دانشکده منابع طبیعی، دانشگاه تهران، پست الکترونیک: salajegh@ut.ac.ir

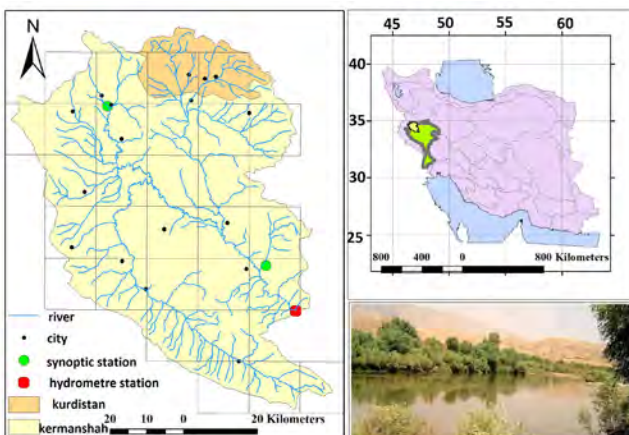
۳. دانشیار پرديس ابوریحان، دانشگاه تهران
۴. دانشیار دانشکده منابع طبیعی، دانشگاه تهران
۵. معاون مدیر کل دفتر برنامه‌ریزی کلان آب و آبفا وزارت نیرو
۶. استاد دانشکده مهندسی عمران، دانشگاه صنعتی شریف

دبی روزانه رودخانه چالوس نمودند. بررسی شاخص کارائی (ناش-ساتکلیف) به دست آمده در مراحل واسنجی (۰/۸۴) و صحبت‌سنگی (۰/۷۴) حاکی از آن است که مدل مذکور از توانایی مناسبی جهت شبیه‌سازی هیدرولوژیک جریان خروجی از حوضه آبریز رودخانه چالوس برخوردار می‌باشد. پرویز و همکاران [۲۲] در تحقیقی از مدل سطح زمین VIC جهت برآورد دمای سطح زمین و جریان رودخانه در حوزه آبخیز سفید رود استفاده نمودند. مقایسه جریان مشاهداتی و شبیه‌سازی در ایستگاه هیدرومتری خروجی حوضه، مبین افزایش ضریب ناش-ساتکلیف به هنگام استفاده از روش معکوس مجدول فاصله تصحیح شده نسبت به ارتفاع به عنوان روش درون‌یابی داده‌های هواشناسی در هر سلول بود. نتایج آن‌ها نشان داد که مدل VIC در مکانیسم شبیه‌سازی رواناب نسبت به پارامتر شکل ظرفیت نفوذ از حساسیت بیشتری برخوردار است. هدف از این پژوهش ارزیابی کارایی مدل بزرگ مقیاس VIC-3L در برآورد و شبیه‌سازی دبی روزانه در مقیاس حوزه آبخیز و استفاده از داده‌های شاخص سطح برگ به جای داده‌های پیش فرض مدل و پایگاه داده‌های اقلیلی ECMWF می‌باشد. بدین منظور سعی شده است مدل VIC-3L در سطح حوضه قره‌سو با استفاده از داده‌های ماهواره‌ای و پایگاه‌های اطلاعاتی جهانی واسنجی و صحبت‌سنگی شود.

مواد و روش‌ها

منطقه مورد مطالعه

حوزه آبخیز قره‌سو واقع در استان کرمانشاه جزو حوزه‌های آبخیز درجه ۴، یکی از زیر حوزه‌های حوزه آبخیز کرخه است. مساحت حوزه مورد نظر ۵۵۳۴ کیلومتر مربع بوده که متوسط بارش سالیانه در کل حوضه بین ۳۰۰ تا ۴۰۰ میلی‌متر متغیر می‌باشد. ارتفاع حداقل این حوزه ۱۱۸۰ متر و ارتفاع حداکثر آن ۳۳۴۶ متر می‌باشد. شکل ۱ نمایش شماتیکی از حوزه قره‌سو می‌باشد.



شکل ۱- موقعیت حوضه مورد مطالعه

Fig 1. location of studied watershed

مختلف سراسر دنیا گزارش شده است [۱، ۶، ۱۰، ۱۵، ۲۱، ۲۳، ۲۷، ۲۸ و ۳۲] استفاده شده است. این مدل به صورت کد باز بوده^۱ و برای سیستم عامل‌های یونیکس و لینوکس توسعه یافته است [۱۱ و ۱۲]. متأسفانه با توجه به اجرای موفقیت آمیز این مدل در اکثر نقاط دنیا، در ایران به دلیل کدباز بودن و اجرا در سیستم عامل‌های لینوکس و یونیکس، استقبال زیادی از این مدل صورت نگرفته است.

بیون و همکاران [۸] در تحقیقی اقدام به بررسی اثرات تغییر اقلیم در قرن ۲۱ بر روی رژیم جریان فصلی و وقایع حدی هیدرولوژیک Great Lakes مانند سیلان، جریان‌های پایه و رطوبت خاک در منطقه Lakes بر روی حوزه آبخیز در آمریکا با استفاده از مدل VIC-3L نمودند. نتایج آن‌ها نشان داد که جریان روزانه رواناب در سال ۲۰۸۰ در اکثر حوضه‌ها به دلیل افزایش میزان بارش در فصل زمستان و بهار حدود ۱۰ تا ۳۰ درصد افزایش خواهد یافت. محمد و همکاران [۱۸] در تحقیقی اقدام به ارزیابی متغیرهای مدل‌های سطح زمین VIC-3L CLM با استفاده از خروجی سنجش از راه دور و تصاویر ماهواره‌ای MODIS نمودند. آنالیز حساسیت نشان‌دهنده روند منفی بین رطوبت خاک و شارهای انرژی تابش طول موج بلند ورودی بود که دلیل آن وضعیت توپوگرافی و پوشش برف منطقه ذکر شده است. ژنگ و همکاران [۳۱] اقدام به ارزیابی اثر تغییر اقلیم بر رژیم هیدرولوژیکی رودخانه‌های فلات تبت در چین با مدل سطح زمین VIC-3L نمودند. نتایج نشان داد که با افزایش دما میزان بارش برف و آب معادل برف کاهش خواهد یافت در حالی که میزان رواناب و دبی رودخانه‌ها به طور قابل ملاحظه‌ای افزایش خواهد یافت. همچنین ناز و همکاران [۱۹] از مدل بزرگ مقیاس VIC-3L با مقیاس مکانی ۱:۲۴ درجه برای بررسی میزان اثر تغییر اقلیم بر شدت وقایع حدی و اثر آن‌ها بر میزان ورودی سدها در ایالت متحده آمریکا استفاده نمودند. برای این منظور از ۱۰ مدل GCM و سناریو RCP8.5 استفاده نمودند که نتایج نشان‌دهنده افزایش جریان‌های بیشینه برای ۴۴ درصد از حوضه‌ها و کاهش جریان‌های کمینه برای ۱۱ درصد از حوضه‌ها بود.

عزیزیان و همکاران [۴] در تحقیقی اقدام به ارزیابی کارائی منابع بارشی باز تحلیل شده و مبتنی بر تکنیک‌های سنجش از دور جهت VIC-3L مدل‌سازی هیدرولوژیکی با استفاده از مدل بزرگ مقیاس بارشی در حوزه آبخیز سفیدرود نمودند و بدین منظور از پایگاه‌های بارشی باز تحلیل شده ECMWF و PERSIAN استفاده نمودند. نتایج حاصل از ارزیابی آماری حاکی از آن بود که در مقیاس زمانی روزانه پایگاه ECMWF با دارا بودن ضریب همبستگی معادل ۰/۸۳ با داده‌های زمینی از عملکرد بسیار بهتری نسبت به پایگاه PERSIAN برخوردار می‌باشد. عزیزیان و شکوهی [۳] در مطالعه‌ای اقدام به ارزیابی مدل هیدرولوژیکی بزرگ مقیاس VIC-3L برای شبیه‌سازی

1. Open source
2. Linux and Unix

رواناب در سطح یک سلول محاسباتی استفاده می‌کند. در این مدل هر سلول به طور جداگانه مدل شده و هیچ‌گونه اندرکش و یا انتقال جریانی بین سلول‌ها رخ نمی‌دهد. به عبارت دیگر این مدل تنها سری زمانی رواناب را که به طور غیر یکنواخت در هر سلول توزیع شده، محاسبه می‌نماید. در نتیجه برای انتقال جریان سطحی و دبی پایه به خارج از سلول و انتقال آن در شبکه آبراهه‌ها برای رسیدن به خروجی حوضه، بایستی از مدل Route که توسط لومن و همکاران [۱۶] توسعه داده شده، استفاده نمود [۱۱ و ۱۲]. نمایی شماتیک از ساختار مدل بزرگ مقیاس VIC-3L در شکل ۲ ارائه شده است.

داده‌های مورد استفاده

اجرای مدل VIC-3L مستلزم آماده‌سازی و تهیه فایل‌های ورودی است. در کل تعداد فایل‌های ورودی و خروجی مدل بستگی به الگوریتم مورد نظر دارد که از مدل انتظار داریم اجرا کند. برای شبیه‌سازی بیلان آب نیازمند تهیه ۶ فایل ورودی شامل فایل داده‌های هواشناسی^۱، فایل پارامتر خاک^۲، فایل کتابخانه پوشش گیاهی^۳، فایل پارامتر پوشش گیاهی^۴، فایل برف^۵ و فایل کنترل مدل^۶ می‌باشد و فرمت اکثر ورودی‌ها و خروجی‌های مدل به فرمت فایل‌های NetCDF می‌باشد و تمامی داده‌ها با استفاده از اسکریپت‌های خاصی در مدل به مقیاس ۰/۱۲۵ درجه تبدیل و با هم مقیاس شدند.

فایل داده‌های هواشناسی

فایل داده‌های هواشناسی شامل داده‌های بارش (میلی‌متر)، حداقل دما (درجه سانتی‌گراد)، حداقل دما (درجه سانتی‌گراد)، سرعت باد (متر بر ثانیه)، فشار اتمسفر، تابش طول موج بلند ورودی، رطوبت نسبی و غیره برای هر سلول شبکه در طول دوره آماری می‌باشد. جهت تهیه داده‌های هواشناسی از داده‌های مرکز پیش‌بینی میان مدت جوی اروپایی (ECMWF) با تفکیک مکانی ۰/۱۲۵ درجه و در فرمت فایل NetCDF به صورت ۱۲ ساعته از بازه زمانی ۱۹۹۳/۰۱/۰۱ تا ۲۰۰۸/۰۹/۳۰ استفاده شد.

فایل خصوصیات خاک

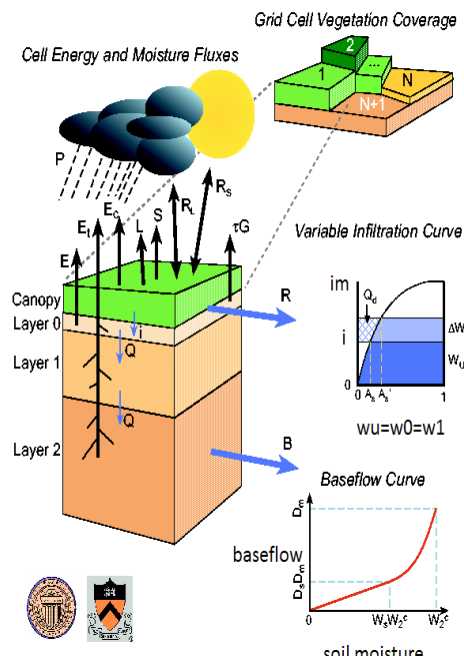
فایل خصوصیات خاک نیز به نوبه خود یکی از ورودی‌های اصلی مدل‌های سطح زمین (LSMs) بوده و نقش اساسی را در مدل‌سازی بیلان رطوبت و تولید رواناب بر عهده دارد. در این مطالعه پارامترهای هیدرولوژیکی خاک و پارامترهای حرارتی مورد نیاز برای سه لایه خاک حدود ۵۴ پارامتر می‌باشد که پارامترهایی مانند بافت خاک، عمق خاک هر لایه، هدايت هیدرولیکی اشباع شده (mm/day) در هر لایه خاک، پارامتر انتشار رطوبت خاک (mm/mm) در هر لایه، محتوای رطوبت هر لایه (mm)، ضخامت رطوبت هر لایه (m) و

VIC-3L مدل

این مدل به صورت نیمه توزیعی بوده و توانایی شبیه‌سازی در ابعاد سلولی ۰/۱۲۵ درجه تا ۳ درجه را در گام‌های زمانی ساعتی و روزانه دارد. مدل‌سازی VIC-3L شامل مدل‌سازی دو نوع از فرآیندهای حاکم بر طبیعت شامل مدل‌سازی زیرسطحی و دومی شامل مانند تبخیر-تعرق، رواناب سطحی و زیرسطحی فرآیندهای عمودی مدل‌سازی فرآیندهای افقی از جمله روندیابی جریان می‌باشد [۱۴]. در این پژوهش شبکه‌بندی منطقه با تفکیک مکانی ۰/۱۲۵ در ۰/۱۲۵ درجه در نظر گرفته شد، به گونه‌ای که کل حوزه آبخیز قره‌سو به VIC-3L ۲۹ سلول ۰/۱۲۵ درجه‌ای تقسیم‌بندی و از مدل‌های نسخه ۴.1.1 و مدل ۱۶.۰۴ در سیستم عامل لینوکس ابونتو نسخه ۱۶.۰۴ استفاده شد. در این پژوهش جهت اجرای مدل VIC-3L و مدل Route در حوزه آبخیز قره‌سو از اطلاعات تصاویر ماهواره‌ای و پایگاه‌های داده جهانی و جهت واسنجی مدل از داده‌های دیگر روزانه ایستگاه هیدرومتری قورباغستان استفاده شد. به گونه‌ای که دوره ۲۰۰۸/۰۹/۳۰ تا ۲۰۰۳/۰۱/۰۱ با گام ۰/۱۰۱ با گام ۰/۰۹/۳۰ تا ۱۹۹۳/۰۱/۰۱ با گام ۰/۰۹/۳۰ جهت دوره واسنجی و دوره ۱۹۹۳/۰۱/۰۱ تا ۲۰۰۲/۰۹/۳۰ با گام زمانی روزانه جهت صحبت‌سنجدی مدل مورد استفاده قرار گرفت زیرا به دلیل وجود شکست در منحنی جرم مضاعف بارش-رواناب حوضه در سال ۲۰۰۹ به دلیل اجرای عملیات آبخیزداری در منطقه دبی حوضه از حالت طبیعی خارج شده بود.

این مدل از نظریه منحنی نفوذ [۲] برای محاسبه میزان نفوذ و

**Variable Infiltration Capacity (VIC)
Macroscale Hydrologic Model**

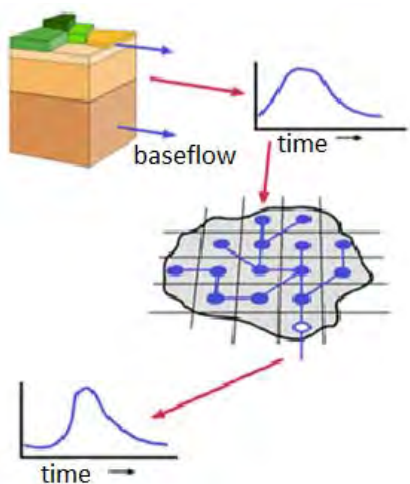


شکل ۲- نمایی شماتیک از ساختار مدل بزرگ مقیاس VIC-3L

Fig 2: Schematic representation of the VIC-3L Land Surface Model

1. Meteorological Forcing Files
2. Soil Parameter File
3. Vegetation Library File
4. Vegetation Parameter File
5. Snow File
6. Global Parameter File

۳ نمایی از مراحل روندیابی مدل ارائه شده است.



شکل ۳- نمایی از مراحل روندیابی مدل Route [۱۱]

Fig 3. An Overview of Route Modeling Processes

فایل‌های ورودی مدل Route

مدل VIC-3L اجزای بیلان آب را در هر سلول شبکه شبیه‌سازی نموده و جهت شبیه‌سازی هیدروگراف خروجی حوضه این مدل باید با مدل Route کوپل شود، به‌طوری‌که مدل Route بتواند از خروجی‌های مدل VIC-3L به عنوان ورودی استفاده کند. جهت اجرای مدل Route علاوه بر فایل‌های خروجی مدل VIC-3L، نیاز به یک سری فایل‌های ورودی است که بیشتر مربوط به پارامترهای روندیابی می‌باشد و شامل فایل‌های مسیر جريان^۱، سرعت جريان^۲، پخش جريان^۳، Xmask^۴ که شامل اندازه هر سلول بر حسب متر جهت محاسبات طول و عرض جغرافیایی سلول‌ها می‌باشد، درصد مشارکت، مکان ایستگاهی^۵ و فایل کنترل مدل Route می‌باشد که در مقیاس مکانی ۱/۲۵ درجه و با کمک نقشه رقومی ارتفاعی حوضه (DEM) با فرمت.tif تهیه شدن.

تحلیل حساسیت پارامترهای مدل

در این مطالعه جهت تحلیل حساسیت مدل از روش یک پارامتر در هر مرتبه^۶ (OAT) در گام‌های زمانی مختلف یعنی تغییر پارامترها به‌طور مستقل و بررسی تأثیر آنها در نتایج خروجی مدل استفاده شد.

واسنجی مدل‌های Route و VIC-3L

در کل می‌توانیم مدل VIC-3L و Route را به عنوان دو بخش از یک چارچوب مدل‌سازی بزرگ‌تر مورد توجه قرار دهیم که هر

- 2. Flow Direction File
- 3. Flow Velocity File
- 4. Flow Diffusion File
- 5. Xmask File
- 6. Station Location File
- 7. One factor at a Time (OAT)

غیره را شامل می‌شود. در این پژوهش برای تهیه نقشه خاک از پایگاه داده جهانی خاک همگن شده^۱ (HWSD) سازمان فائقه با مقیاس ۱ کیلومتری (۳۰ آرك-ثانیه) و دیتابیس مربوط به آن استفاده شد.

فایل‌های کتابخانه پوشش گیاهی و خصوصیات پوشش گیاهی فایل کتابخانه پوشش گیاهی برای هر نوع پوشش گیاهی شامل ۵۸ پارامتر است که جهت محاسبات تبخیر-تعرق بکار می‌روند و اطلاعاتی در مورد مقاومت تاج پوشش گیاهی، حداقل مقاومت روزنه‌ای، شاخص سطح برگ، آلبدو، ارتفاع جایگاهی پوشش گیاهی، حداقل اشعه مادون قرمز دریافتی در فرآیند تعرق، و غیره می‌باشد. جهت تهیه این فایل از پایگاه داده GLDAS سایت NASA و تصاویر ماهواره‌ای MODIS MCD12Q1 با مقیاس مکانی ۵۰۰ متر استفاده به عمل آمد. همچنین فایل خصوصیات پوشش گیاهی تعداد درصد پوششی، نوع و مقدار شاخص سطح برگ به همراه ضخامت و درصد هر بخش ریشه برای هر نوع پوشش گیاهی را در هر سلول شبکه تعریف می‌کند. جهت تهیه این فایل از پایگاه MODIS GLDAS سایت NASA و تصاویر ماهواره‌ای MCD12Q1 با مقیاس مکانی ۵۰۰ متر استفاده به عمل آمد.

فایل باندهای برف

باند ارتفاعی برف برای بهبود عملکرد مدل در مناطقی با توبوگرافی مشخص، به ویژه در مناطق کوهستانی استفاده می‌شود. این فایل حاوی اطلاعاتی است که برای تعریف ویژگی‌های هر باند ارتفاعی مورد استفاده در مدل برف وجود دارد [۲]. جهت تهیه این فایل از تصاویر ماهواره‌ای MODIS MOD10A2 با مقیاس مکانی ۵۰۰ متر استفاده شد.

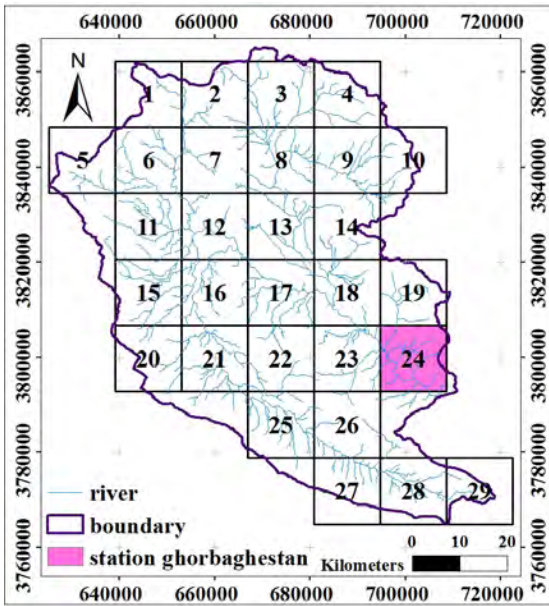
فایل کنترل مدل

این فایل مهم‌ترین فایل ورودی برای اجرای مدل VIC-3L است. در این فایل پارامترهای کنترل مدل شامل نوع شبیه‌سازی، پارامترهای اصلی شبیه‌سازی، پارامترهای بیلان آب و انرژی، روش حل بیلان انرژی سطح، زمان شروع و پایان شبیه‌سازی، گام‌های شبیه‌سازی و غیره را تعریف و تنظیم می‌کند.

معرفی مدل Route

این مدل برای شبیه‌سازی هیدروگراف جريان خروجی از حوضه، نتایج بدست آمده از اجرای مدل VIC-3L را با استفاده از یک مدل روندیابی ساده که بر مبنای تابع انتقال خطی می‌باشد در شبکه آبراهه‌های حوضه روندیابی می‌کند مجموع جريان سطحی و زیر سطحی مدل VIC-3L ابتدا به خروجی سلول (روندیابی درون سلولی) و سپس به شبکه رودخانه (روندیابی بین سلولی) هدایت می‌شود. جهت در نظر گرفتن تفاوت در زمان پیمایش رواناب در نقاط مختلف سلول، رواناب روزانه مدل VIC-3L توسط هیدروگراف واحد پیچش می‌شود که در واقع شبیه‌سازی درون سلولی است. جريان درون سلولی باید به خروجی حوضه هدایت شود که این مسئله از طریق شبکه رودخانه امکان‌پذیر است. در شکل

- 1. Harmonized World Soil Database



شکل ۵- شبکه محاسباتی و مکان ایستگاه هیدرومتری فورباغستان

Fig 5. Computational grid and the location of the Gurbaghestan hydrometric station

$$R^2 = \left[\frac{\sum_{i=1}^n (O_{obs} - \bar{O})(S_{sim} - \bar{S})}{\sqrt{\sum_{i=1}^n (O_{obs} - \bar{O})^2 \sum_{i=1}^n (S_{sim} - \bar{S})^2}} \right]^2 \quad (1)$$

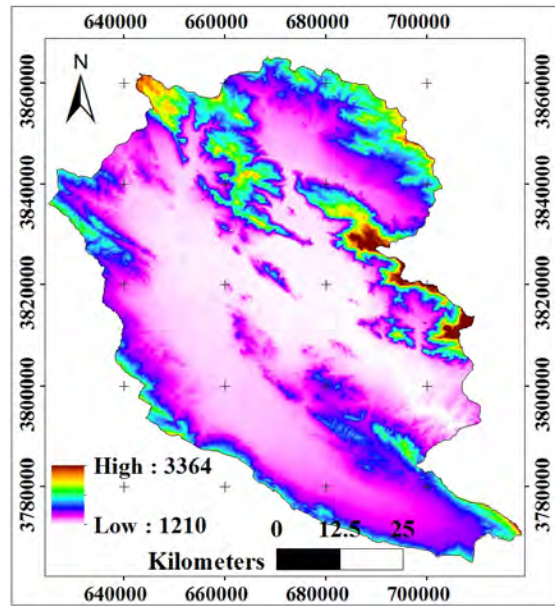
$$ME = 1 - \frac{\sum_{i=1}^n (S_{sim} - O_{obs})^2}{\sum_{i=1}^n (O_{obs} - \bar{O}_{obs})^2} \quad (2)$$

که O_{obs} داده‌های مشاهده‌ای، \bar{O} میانگین داده مشاهده‌ای، S_{sim} داده شبیه‌سازی شده، \bar{S} میانگین داده شبیه‌سازی شده و n تعداد داده‌های است [۹، ۷ و ۱۳].

نتایج

نتایج حاصل از تهیه فایل‌های ورودی مدل VIC-3L و مدل ROUTE در شکل‌های ۴ تا ۱۳ ارائه شده است.

در این مدل حوزه آبخیز قره‌سو به ۲۹ سلول با ابعاد ۰/۱۲۵ درجه تقسیم تا بیلان آب در هر سلول به صوت مجزا محاسبه شود. همان‌گونه که عنوان شد برای تهیه فایل پارامترهای خاک از HWSD (<http://www.fao.org/soils-portal/soil-survey/soil-maps-and-databases/harmonized-world-soil-database-v12/en>) استفاده به عمل آمد که این پایگاه داده شامل نقشه خاک جهانی با مقیاس ۱:۵۰۰۰۰۰ و پایگاه داده‌ای شامل ویژگی‌هایی مانند کربن ارگانیک، pH، ظرفیت ذخیره‌سازی آب، عمق خاک، ظرفیت کاتیون تبادلی خاک، کل مواد مغذی قابل تعویض، محتوی آهک و گچ، درصد سدیم تبادلی، شوری، کلاس بافت خاک و گرانولومتری و غیره برای هر نوع خاک بعضی از



شکل ۴- نقشه DEM حوزه آبخیز قره‌سو

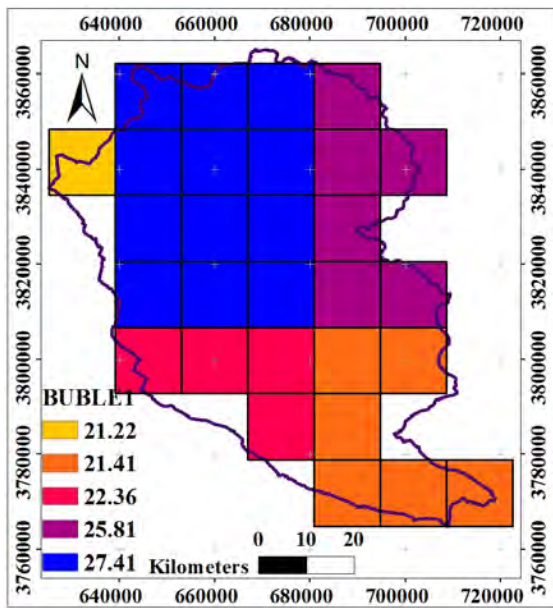
Fig 4. DEM Map of Gharesou watershed

دو مدل حاوی پارامترهایی هستند که نیاز به کالیبراسیون یا تخمین اولیه‌ای دارند [۲۹]. علی‌رغم این که بسیاری از پارامترهای این مدل‌ها مبتنی بر داده‌های سنجش از دور و یا پایگاه‌های داده جهانی می‌باشد ولی برخی از آن‌ها را نمی‌توان با استفاده از این منابع و یا حتی اندازه‌گیری مستقیم تعیین نمود. این پارامترها مفهومی بوده و گاه‌ای دارای مقادیر غیر فیزیکی می‌باشند که باید مقادیر بهینه آن‌ها را پیدا کنیم. در این پژوهش در مدل VIC-3L ۵ پارامتر منحنی نفوذ متغیر^۱ (Ds_{max})، کسری از (Ds_{infilt})، پارامتر (Dm)، کسری از حداکثر رطوبت خاک (Ws) و ضخامت هر لایه خاک مروطوب (D1، D2 و D3) و در مدل روندیابی پارامترهای سرعت موج و ضریب پخشیدگی برای واسنجی مدل مورد استفاده قرار گرفتند [۲۱؛ ۲۲].

متغیرهای کارایی مدل

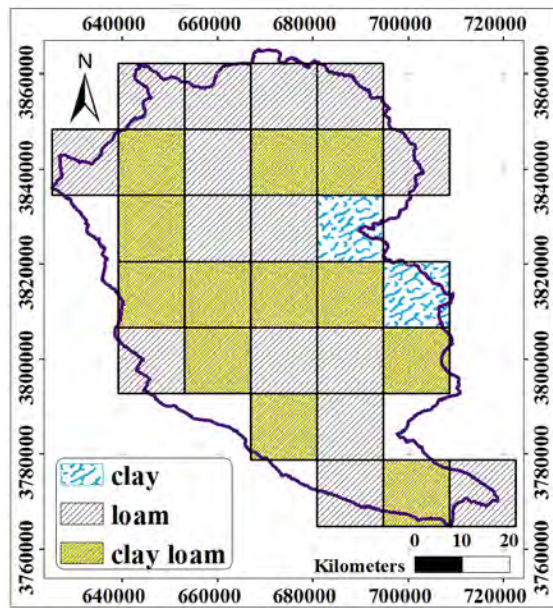
به‌منظور تعیین دقت نتایج مدل از شاخص‌های ارزیابی ضریب تبیین (R^2) و ضریب کارایی (ME) به شرح زیر استفاده شد: ضریب تبیین (R^2) نسبت واریانس متغیر وابسته پیرامون میانگین که با متغیرهای پیش‌بینی کننده مستقل بیان می‌شود و ضریب کارایی (ME) روش ناش-ساتکلیف می‌باشد که به شرح زیر محاسبه می‌شوند:

1. Variable infiltration curve parameter
2. fraction of the Dsmax parameter
3. Fraction of maximum soil moisture
4. thickness of each soil moisture layer



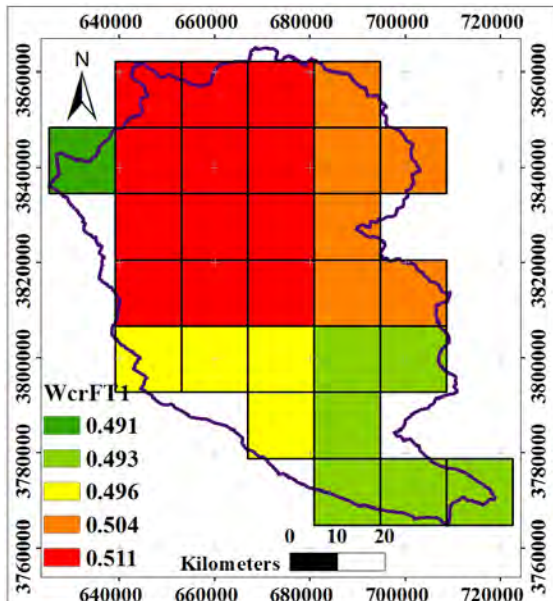
شکل -۸- فشار حبابی خاک (cm) در لایه اول خاک

Fig 8. Soil bubble pressure (cm) in the first layer of soil



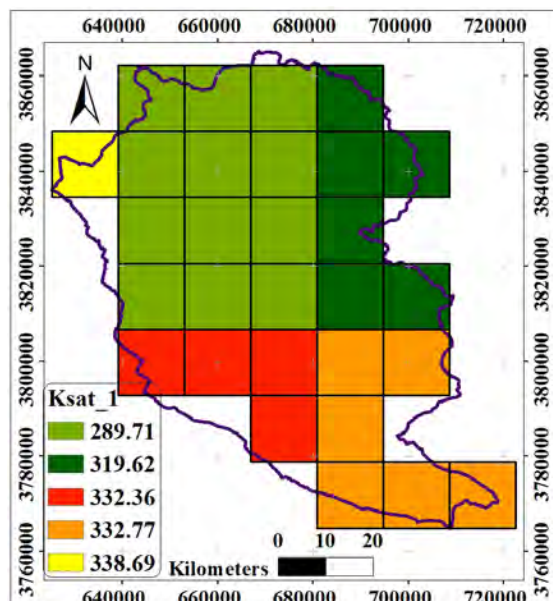
شکل ۶- نقشه بافت خاک در هر سلو

Fig 6. the soil Map texture in each cell



شکل -۹- کسری از رطوبت خاک در نقطه بحرانی

Fig 9. A fraction of the soil moisture at the critical point



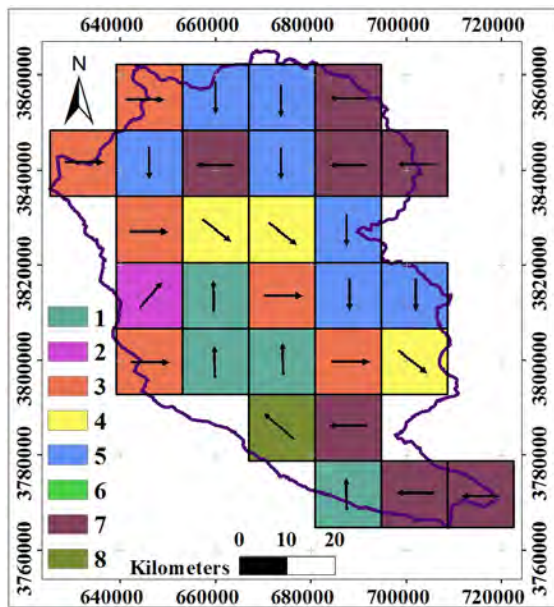
شکل -۷- هدایت هیدرولیکی اشباع شده در لایه اول خاک

Fig 7. Hydraulic conductivity saturated in the first layer

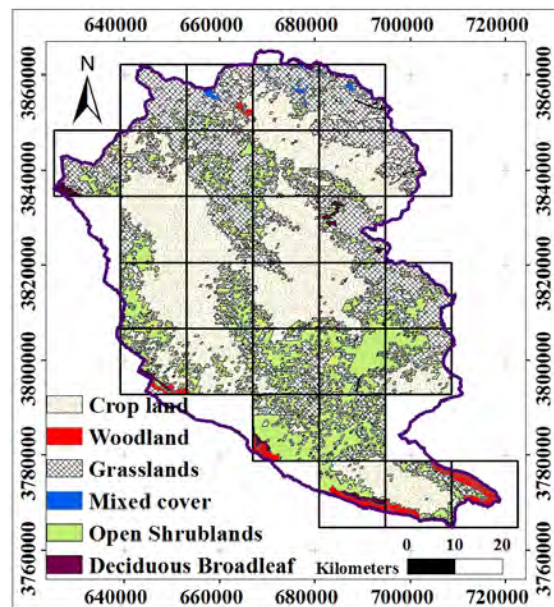
of soil

پارامترهای خاک در شکل های ۶ تا ۹ ارائه شده است.
در شکل های ۱۰ و ۱۱ نقشه پوشش گیاهی و نمونه ای از پوشش سطح برف حوضه ارائه شده است.

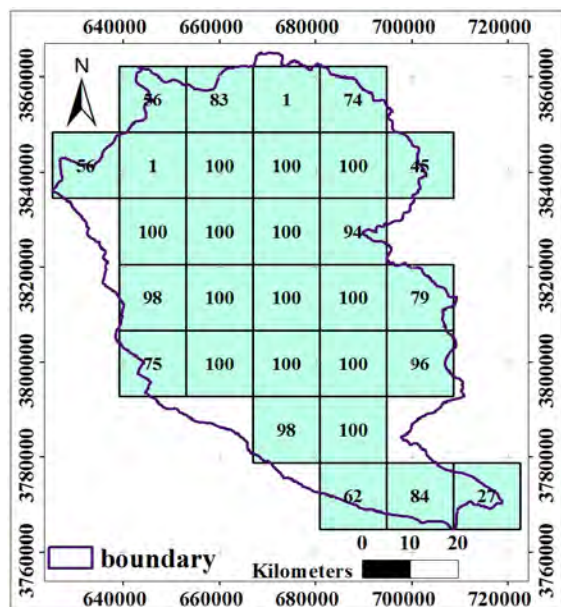
همچنین در شکل ۱۲ و ۱۳ نقشه جهت جريان و نقشه درصد مشارکت در مدل ROUTE ارائه شده است.
شایان ذکر است سایر فایل های ورودی اشاره شده در بخش داده های مورد استفاده در فرمتهای غیر از نقشه مانند فرمت



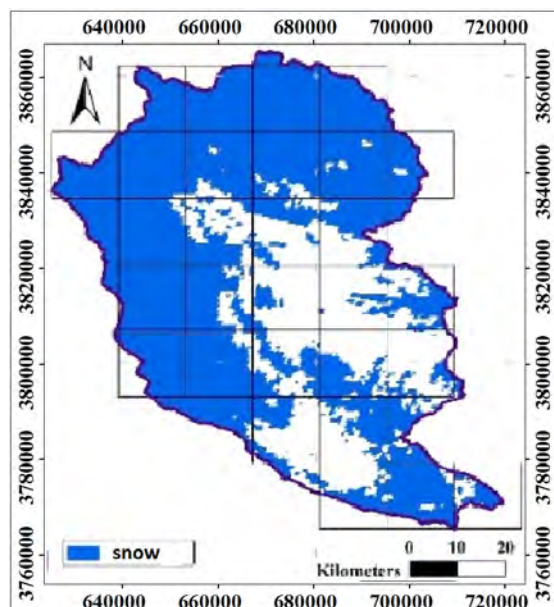
شکل ۱۲- نقشه جهت جریان در حوزه آبخیز قره سو
Fig 12. Map of flow direction in Gharesou watershed



شکل ۱۰- نقشه پوشش گیاهی حوضه
Fig 10. vegetation map



شکل ۱۳- نقشه درصد مشارکت در حوزه آبخیز قره سو
Fig 13. Map of participation percentage in Gharesou watershed

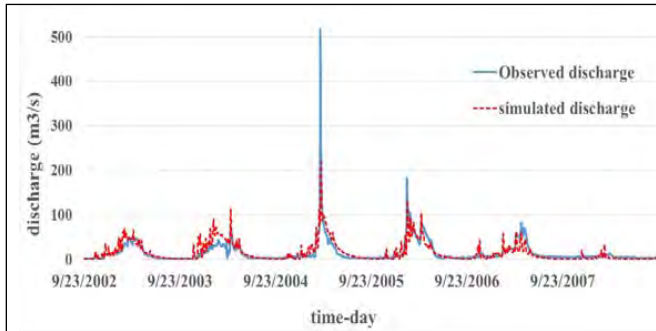


شکل ۱۱- پوشش برف سطح حوزه آبخیز قره سو در
۲۰۰۷/۰۱/۰۸

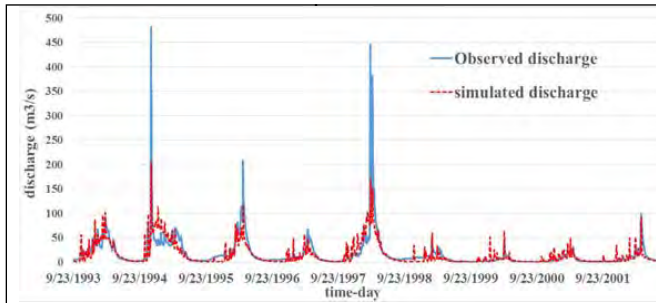
Fig 11. Snow cover at Gharesou watershed on 08/01/2007

ضریب تبیین (R^2) و ضریب کارایی (ME) در جدول ۲ ارائه شده است.

نتایج حاصل از شبیه‌سازی روزانه در مرحله واسنجی و صحبت‌سنجی مدل در شکل‌های ۱۴ و ۱۵ ارائه شده است. هم‌چنین نتایج حاصل از ارزیابی مدل توسط شاخص‌های آماری



شکل ۱۴- نتایج حاصل از شبیه‌سازی مدل در دوره واسنجی
Fig 14. The results of simulation of the model during calibration period



شکل ۱۵- نتایج حاصل از شبیه‌سازی مدل در دوره صحبت‌سنجری

Fig 15. The results of model simulation in the verification period

مدل از داده‌های ایستگاه هیدرومتری قورباغستان استفاده شد، که علی‌رغم این‌که از داده‌های زمینی استفاده نشده بود نتایج حاصل از ارزیابی کارایی مدل نشان داد که این مدل قابلیت بسیار خوبی برای شبیه‌سازی دبی حوضه دارد به‌گونه‌ای که در مرحله واسنجی، شاخص‌های آماری ناش- ساتکلیف و ضریب تبیین به ترتیب معادل ۰/۷۳ و ۰/۷۲ و در مرحله صحبت‌سنجری ۰/۷۴ و ۰/۷۵ بودست آمد که حاکی از کارایی بالای این مدل در شبیه‌سازی جریان روزانه رودخانه دارد که با نتایج تحقیقات محمد و همکاران [۱۸]، ناز و همکاران [۱۹]، عزیزیان و همکاران [۳]، عزیزیان و شکوهی [۴] و پرویز و همکاران [۲۲] مبنی بر قابلیت بالای این مدل در شبیه‌سازی دبی جریان مطابقت دارد.

بررسی عملکرد مدل نشان می‌دهد که مدل مذکور توانایی بالای در شبیه‌سازی دبی‌های پایه داشته ولی در برآورد مقدار دقیق دبی‌های پیک قدرت لازم را نداشته و مقادیر دبی پیک را در واقعی سیالاب کمتر از میزان واقعی برآورد نموده است که بهدلیل ویژگی‌های حوضه و موقع سیالاب‌های ناشی از ذوب برف می‌باشد به‌گونه‌ای که مثلاً در مورخ ۱۳/۰۳/۲۰۰۵ که میزان دبی پیک مشاهده‌ای معادل ۵۱۹ متر مکعب بر ثانیه بوده است و مقدار پیش‌بینی شده توسط مدل معادل ۲۲۰ متر مکعب بر ثانیه بوده است که عددی معادل ۴۲ درصد دبی پیک را برآورد نموده است. همچنین در مورخ ۰۷/۰۶/۲۰۰۶ که

جدول ۱- پارامترهای بهینه مدل در مرحله واسنجی مدل‌ها

Table 1. Optimal Model Parameters in Calibration Model

پارامتر	Parameter optimum number	دامنه تغییرات variation range	عدد بهینه پارامتر
b_infilt	0.027	0.00001 – 0.4	0.027
Ds	0.535	0.001 – <1	0.535
Dm	3.357	> -30	3.357
Ws	0.817	>0.5 – 0.9	0.817
D1	0.3	0.1-2.5	0.3
D2	1.05	0.1-2.5	1.05
D3	0.210	0.1-2.5	0.210
سرعت موج (m/s)	1.25	1-3	1.25
Wave speed (m/s)	675	200-400	675
ضریب پخشیدگی (m²/s)			
Distribution coefficient (m²/s)			

جدول ۲- نتایج حاصل از ارزیابی مدل توسط شاخص‌های

آماری ضریب تبیین (R^2) و ضریب کارایی (ME)

Table 2. The results of the model evaluation by the coefficients of statistical analysis (R^2) and efficiency

دوره	Start year	End of year	(R ²)	(ME)
واسنجی Calibration	2003/01/01	2008/09/30	0.75	0.73
صحبت‌سنجری Verification	1993/01/01	2003/01/01	0.72	0.74

بحث و نتیجه‌گیری

اکثر مدل‌های هیدرولوژیکی بارش- رواناب برای اجرای دقیق و واسنجی کامل نیاز به اندازه‌گیری پارامترهای زیادی داشته که گاهماً یا بسیار وقت‌گیر یا پرهزینه می‌باشد. اما مدل‌های سطح زمین (LSMs) علی‌رغم دارا بودن پارامترهای متعدد و بسیار زیاد در ساختار خود، این قابلیت را دارند که بدون استفاده از داده‌های زمینی و صرفاً با استفاده از تصاویر ماهواره‌ای و پایگاه‌های جهانی اجرا شوند. در این تحقیق نیز مدل سطح زمین VIC-3L به کمک داده‌های سنجش از دور مانند تصاویر پوشش گیاهی حوضه، داده‌های هواشناسی ECMWF و پایگاه داده جهانی خاک همگن شده^۱ (HWSD) و GLDAS اجرا شد و صرفاً برای واسنجی

1. Harmonized World Soil Database

هیدروگراف جریان می‌شود. همچنین نتایج نشان می‌دهد که اثر تغییر این پارامتر تأثیر زیادی بر متوسط دبی روزانه ندارد. همچنین عمق خاک بسیاری از متغیرهای مدل را تحت تأثیر قرار داده و به طور کلی هرچه خاک ضخیم‌تر باشد جریان پیک فصلی کاهش یافته و جریان پایه غالب می‌شود که این به دلیل افزایش تلفات ناشی از تبخیر- تعرق می‌باشد. در این تحقیق جهت بررسی اثر لایه‌های تحتانی خاک بر عملکرد مدل از اعماق ۰/۱، ۰/۲ و ۰/۳ متر برای لایه اول استفاده شد. نتایج حاصل نشان داد که عمق لایه اول خاک تأثیر چندانی بر هیدروگراف خروجی مدل ندارد و افزایش عمق خاک به صورت بسیار ناچیزی باعث کاهش دبی پیک می‌شود که در بیشتر مطالعات جهت کاهش پارامترهای واسنجی معمولاً فرض بر این است که عمق لایه اول خاک معادل ۱۰ سانتی‌متر است. در حالی که برخلاف لایه اول، نتایج بدست آمده حاکی از آن است که با افزایش عمق لایه دوم خاک، متوسط دبی روزانه کاهش چشم‌گیری خواهد داشت به گونه‌ای که افزایش میزان عمق خاک از ۰/۵ به ۲ متر باعث کاهش شدید دبی پیک خواهد شد در حالی که اثر معنی‌داری بر روی دبی پایه نخواهد داشت. در حالی که افزایش میزان عمق خاک در لایه سوم از ۰/۱ به ۰/۵ متر باعث افزایش قابل توجهی در میزان دبی پایه می‌شود. به گونه‌ای که افزایش عمق خاک موجب افزایش توان نگهدارش رطوبتی خاک شده و بخش عمدہ‌ای از بارش در خاک ذخیره و به مرور زمان در اثر نفوذ تقلیل و یا تبخیر- تعرق از خاک خارج و به دبی پایه رودخانه اضافه خواهد گردید. ذکر این نکته نیز ضروریست که اثر تغییر عمق لایه دوم خاک بر حداقل مقادیر جریان در مقیاس‌های زمانی مختلف نیز بسیار بیشتر از تأثیر عمق لایه سوم خاک می‌باشد.

در کل با توجه به بزرگ مقیاس بودن مدل VIC-3L و استفاده از آن در مقیاس حوزه آبخیز در این پژوهش، می‌توان گفت این مدل از قابلیت بالایی برخوردار بوده است مخصوصاً این که در اجرای این مدل جز در مرحله واسنجی، از هیچ گونه داده زمینی استفاده نشده است و تمامی داده‌های مورد نیاز مدل از تصاویر ماهواره‌ای و دیتابیس‌های جهانی استفاده شده است که با توجه به محدودیت‌های مدل‌های هیدرولوژیکی بارش- رواناب در خصوص اندازه‌گیری‌های بسیار زیاد و صرف وقت و هزینه‌های بسیار بالا برای اجرای این مدل‌ها، می‌توان مدل‌های سطح زمین را جایگزین مناسبی برای مدل‌های بارش- رواناب در نظر گرفت.

منابع

- Abdulla, FA. Lettenmaier, DP. Wood, and E. Smith, J. 1996. Application of a macro scale hydrologic model to estimate the water balance of the Arkansas Red river basin. Journal of Geophysical Research: Atmospheres. 101(D3): 7449-7459.
- Andreadis, S. and Lettenmaier, D. 2009. Modeling

میزان دبی پیک ۱۸۰ متر مکعب بر ثانیه بوده است که مدل آن را ۱۲۵ متر مکعب بر ثانیه پیش‌بینی نموده است که معادل ۶۹ درصد دبی واقعی بوده است. اما در کل دبی شبیه‌سازی شده توسط مدل مذکور به خوبی توانسته است از روند موجود در داده‌های دبی مشاهده‌ای تبعیت نماید و روند دبی‌های پایه و پیک را به خوبی مدل نماید.

نتایج بدست آمده نشان داد که مدل VIC-3L نسبت به تغییر هر کدام از پارامترها حساسیت متفاوتی از خود نشان می‌دهد. چنان‌چه خروجی‌های مورد استفاده جهت تحلیل حساسیت مدل را به سه دسته حداقل دبی جریان (دبی پایه)، متوسط دبی جریان و حدکثر دبی جریان تقسیم کنیم ترتیب تأثیرگذاری پارامترهای مدل VIC-3L به این صورت است که چنان‌چه در مدل‌سازی جریان‌های حداقل (دبی پایه) برای ما مهم باشد پارامترهای Ws و $d2$ بیشترین تأثیر و اهمیت و پارامترهای b_infilt و $d3$ دارای کمترین اثر می‌باشند. به گونه‌ای که برای مدل‌سازی این نوع از جریان و واسنجی مدل می‌توانیم پارامترهای (Ds) Ws ، $d2$ ، $Dsmax$ و (Dm) $DsMax$ را جهت واسنجی انتخاب نماییم. در حالی که اگر متوسط دبی جریان برای ما حائز اهمیت باشد پارامترهای تأثیرگذار عبارتند از b ، $d2$ ، Ws و $Dsmax$ $infilt$. همچنین اگر حدکثر دبی جریان برای ما مهم باشد به ترتیب پارامترهای (Ds) $d2$ ، Ws ، $Dsmax$ و (Dm) $DsMax$ مهم‌ترین پارامترها محسوب می‌شوند.

نتایج حاصل از تحلیل حساسیت مدل نشان داد که پارامتر منحنی نفوذ متغیر (b_infilt) شکل منحنی ظرفیت نفوذ متغیر را معین کرده و کنترل‌کننده مقدار آبی است که می‌تواند در خاک نفوذ کرده و مقادیر ظرفیت نفوذ موجود را به عنوان تابعی از منطقه شبکه سلولی اشباع وابسته توصیف می‌کند، مقادیر بالای این پارامتر موجب کاهش مقدار نفوذ و افزایش رواناب سطحی خواهد گردید. پارامتر کسری از (Ds) $Dsmax$ از پارامتر Dm است که در آن دبی پایه غیرخطی شروع شده و به سرعت افزایش می‌یابد. مقادیر بالای این پارامتر با محتوای کم آب در پایین‌ترین لایه خاک، موجب تولید دبی پایه بزرگ‌تری در لایه پائینی خاک خواهد گردید. نتایج بدست آمده از شبیه‌سازی مدل در مقیاس زمانی روزانه نشان می‌دهد که افزایش پارامتر Ds موجب کاهش بیشتر دبی پایه خواهد شد. پارامتر $Dsmax$ به هدایت هیدرولوژیکی خاک بستگی داشته و عبارتست از حدکثر دبی پایه که می‌تواند توسط لایه تحتانی خاک تولید شود. بررسی عملکرد مدل نیز حاکی از آن است که مقادیر پائین این پارامتر موجب افزایش دبی پایه و کاهش مقدار دبی پیک هیدروگراف جریان خواهد گردید. پارامتر کسری از حدکثر رطوبت خاک (Ws) مشابه پارامتر Ds بوده و میزان تخلیه آب ذخیره شده در لایه سوم نیاز برای افزایش سریع جریان پایه است. مقادیر بالای Ws محتوی آب مورد نیاز برای افزایش غیر خطی را که تمایل دارد پیک رواناب را به تأخیر اندازد افزایش خواهد داد. نتایج بدست آمده حاکی از آن است که در مقیاس روزانه افزایش پارامتر Ws موجب افزایش دبی حداقل و کاهش دبی حدکثر

13. Krause, P. Boyle, D. and Base, F. 2005. Comparison of different efficiency criteria for hydrological model Assessment. *Advances in Geosciences* .5: 89–97.
14. Liang, X. Lettenmaier, E. Wood, F. and Burges, S. 1994. A Simple Hydrologically Based Model of Land Surface Water and Energy Fluxes for GSMS. *Geophys.* 99(D7): 415-428.
15. Livneh, B. Rosenberg, E.A. Lin, C. Nijssen, B. Mishra, V. Andreidis, K.M. Maurer, E.P. and Lettenmaier, D.P. 2013. A long-term hydrologically based dataset of land surface fluxes and states for the conterminous United States: update and extensions. *Clim.* 26: 9384–9392.
16. Lohmann, D. Raschke, E. Nijssen, B. and Lettenmaier, DP. 1998. Regional scale hydrology: I. Formulation of the Regional scale hydrology: I. Formation of the VIC-2L model coupled to a routing model. *Hydrological Science Journal.* 43(1): 131-141.
17. Lohmann, DR. and Raschke, E. 1996. A large-scale horizontal routing model to be coupled to land surface parameterization schemes. *Tellus A.* 48: 708-721.
18. Muhammad, U. Daeun, K. Ram, L. and Minha, C. 2018. Estimating land surface variables and sensitivity analysis for CLM and VIC simulations using remote sensing products. *Science of the Total Environment.* 633: 470-483.
19. Naz, B. Shih-Chieh Kao, S. Ashfaq, M. Huilin, G. Deeksha, R. and Sudershan, G. 2018. Effects of climate change on streamflow extremes and implications for reservoir inflow in the United States. *Journal of Hydrology.* 556: 359-370
20. Nijssen, B. Donnell, G, Lettenmaier, D. and Lohmann, D. 2001. Predicting the discharge of global river. *Journal of Climate.* 14: 3307-3323.
21. Nijssen, B.N. Lettenmaier, D. Liang, X. Wetzel, S. and Wood, E. 1997. Streamflow simulation for continental-scale river basins. *Water Resour.* 33(4): 711-724.
22. Parviz, L. Kholghi, M. Araghi Nejhad, Sh. and Vali zadeh, K. 2011. An Assessment of the Integrated Variable Infiltration Capacity and Routing Model in the Sefidroad River Basin. *Journal of Water and Soil.*
- snow accumulation and ablation processes in forested environments. *Water Resour.* 45: 1010-1029.
3. Azizyan, A. and Shukouhi, A. 2018. Evaluating and Sensitivity Analysis of a Macro Scale Hydrological Model (VIC-3L) for Simulation of Stream Flow at Different Time Scales. *Journal of Civil and Environmental Engineering.* 47(2): 39-52. (In Person)
4. Azizyan, A. Shayeghi, and A. Luka, B. 2019. Evaluating the Efficiency of Reanalysis and Remote-Sensing based Rainfall Data sets for Hydrological Modeling Using VIC-3L Large Scale Model. *Iran Water Resources Research.* 15(1): 50-60. (In Person)
5. Blyth, E. Best, M. Cox, P. Essery, R. Boucher, O. Harding, R. Prentic, C. Vidale, P. and Woodward, I. 2006. a new community Land Surface Model. *Global Change Newsletter.* 66: 9-11.
6. Bowling, L. Storck, P. and Lettenmaier, DP. 2000. Hydrologic effects of logging in western Washington, United States. *Water Resource Research.* 36(11): 3223-3240.
7. Bray, I. and Xie, H. 1993. A regression method for estimating Suspended sediment yield for engaged watersheds in Atlantic Canada. *Canadian Journal of Engineering.* 20: 82-87.
8. Byun, K. Chiu, Ch. And Hamlet, A. 2019. Effects of 21st century climate change on seasonal flow regimes and hydrologic extremes over the Midwest and Great Lakes region of the US. *Science of the Total Environment.* 650: 1261–1277.
9. Gurpal, S. Harmel, D. Haggard, B. and Schmidt, G. 2008. Evaluation of Regression Methodology with Low-Frequency Water Quality Sampling to Estimate Constituent Loads for Ephemeral Watersheds in Texas. *J Environ Qual.* 37: 1847-1854.
10. Hamlet, A.F. Elsner, M.M. Mauger, G. Lee, S. and Tohver, I. 2013. An overview of the Columbia Basin climate change scenarios project: approach, methods, and summary of key results. *Atmosphere-Ocean.* 51: 392–415.
11. <http://vic.readthedocs.io/en/master/Overview/SnowModelText/>
12. <https://ldas.gsfc.nasa.gov/gldas/GLDASgoals.php>

28. Wood, EF. Lettenmaier, DP. Liang, X. Nijssen, B. and Wetzel, SW. 1997. Hydrological modeling of continental-scale basins. *Annual Review of Earth and Planetary Sciences*. 25: 279-300.
29. Yapo, P. Gupta, H. and Sorooshian, S. 1998. Multi-objective global optimization for hydrologic models. *J. Hydrology*. 204(1): 83-97.
30. Zhang, H. Harrie, J. Hendricks, F. Xujun, H. Jasper, A. Vrugt, H. and Vereecken, H. 2017. State and parameter estimation of two land surface models using the ensemble Kalman filter and the particle filter. *Hydrology and earth science*. 21: 4927–4958.
31. Zhong, R. Yanhu, H. and Xiaohong, C. 2018. Responses of the hydrological regime to variations in meteorological factors under climate change of the Tibetan plateau. *Atmospheric Research*. 214: 296–310.
32. Zhu, C. and Lettenmaier, D. 2007. Long-term climate and derived surface hydrology and energy flux data for Mexico1925-2004. *Journal of Climate*. 20(9): 1936-1946.
- 25(3): 570-582. (In Persian)
23. Su, FG. Adam, JC. Bowling, LC. and Lettenmaier, DP. 2005. Stream flow simulations of the terrestrial Arctic domain. *Journal of Geophysical Research: Atmospheres*. 110: 1-25.
24. Tian, Y. Peters-Lidard, C.D. Kumar, S. Geiger, J. Houser, P. Easman, J. Dimeyer, P. Doty, B. and Adams, J. 2008. High-performance Land Surface Modeling with a Linux Cluster. *Computers and Geosciences*. 34: 1492-1504.
25. Vano, J. Nijssen, B. and Lettenmaier, D.P. 2015. Seasonal hydrologic responses to climate change in the Pacific Northwest. *Water Resour*. 51: 1959–1976.
26. Warrch-sagi, K. Stieglitz, M. Mengelkamp, H. and Raschke, E. 2008. Streamflow Simulation Reveal the Impact of the Soil Parametrization. *Meteorologische Zeitschrift*. 17(6): 751-762.
27. Wong, C.P. Jiang, B. Kinzig, A.P. Lee, K.N. and Ouyang, Z. 2015. Linking ecosystem characteristics to final ecosystem services for public policy. *Ecol*. 18: 108–118.